

系统建模问题背景

问题 4

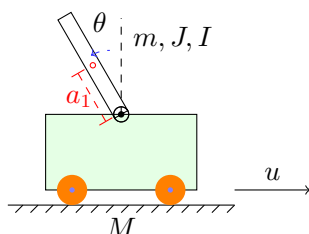
试用 Simulink 搭建如下倒立摆的 PID 和 LQR 控制器，假设倒立摆的状态空间模型为：

$$\dot{x} = Ax + Bu$$

$$y = Cx + Du = \begin{bmatrix} \theta \\ x \end{bmatrix}$$

$$\text{状态矩阵 } A = \begin{bmatrix} 0 & 1 & 0 & 0 \\ 41.63 & 0 & 0 & 0 \\ 0 & 0 & 0 & 1 \\ -0.6099 & 0 & 0 & 0 \end{bmatrix}, B = \begin{bmatrix} 0 \\ -2.7584 \\ 0 \\ 0.6898 \end{bmatrix}, C = \begin{bmatrix} 1 & 0 & 0 & 0 \\ 0 & 0 & 1 & 0 \end{bmatrix}, D = \begin{bmatrix} 0 \\ 0 \end{bmatrix}, \text{ 状态}$$

$$\text{向量 } x(t) = \begin{bmatrix} \theta \\ \dot{\theta} \\ x \\ \dot{x} \end{bmatrix}, \text{ 控制输入 } u(t), \text{ 输出 } y(t)。$$



其中， M 为摆杆的质量， m 为小球的质量， J 为摆杆的转动惯量， I 为小球的质量矩（这里两种模型的 J, I 可以看为一种东西）， u 为输入力， θ 为摆杆与水平线的夹角， l 为摆杆重心与水平线的距离。这里给出假设： $M = 1.42, m = 0.12, b = 0.1, l = 0.188, J = I = 0.0014$ ，均为国际单位制 (kg,m,s)。

数学推导与模型构建

如下图所示，我们拥有两种倒立摆系统的模型假设：

- 在杆模型中，我们假设杆的质量是均匀分布的，并且不考虑系统的摩擦。

- 在球模型中，我们忽略摆杆质量和地面摩擦，并且假设杆的质量集中在杆的末端。

这种假设影响的是重心位置，但是我们可以通过巧妙地让重心到连接点的长度为 l 来寻找统一的表达式。

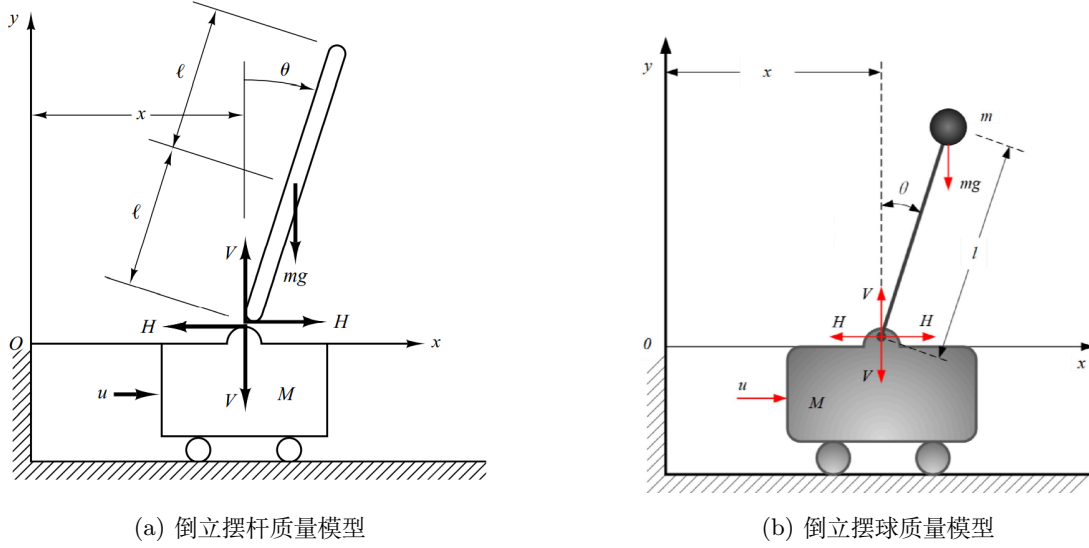


图 1: 两种倒立摆模型

倒立摆杆质量模型

严格来说：假设 u 为外部作用力， M 为小车质量， m 为摆杆质量，摆杆长度为 $2l$ 且摆杆质量均匀分布。设 x 为小车位置， θ 为摆杆与竖直方向的夹角。系统不考虑空气阻力的影响。那么我们根据牛顿第二定律，考虑摆杆重心的水平运动和垂直运动，然后在考虑小车的水平运动和摆杆的转动（绕重心的转动运动）。

$$\begin{cases} m \frac{d^2}{dt^2}(x + l \sin(\theta)) = H \\ m \frac{d^2}{dt^2}(l \cos(\theta)) = -mg + V \\ M \frac{d^2}{dt^2}(x) = u - H \\ I \frac{d^2}{dt^2}(\theta) = Vl \sin(\theta) - Hl \cos(\theta) \end{cases}$$

联立化简即可，我们为了方便后续设计，假设倒立摆角度很小，近似认为 $\sin \theta = \theta, \cos \theta = 1$ ；以及倒立摆绕重心的转动惯量很小，近似认为 $I = 0$ 。那么可以得到：

$$\begin{cases} (M + m)\ddot{x} + m\ddot{\theta} = u \\ ml^2\ddot{\theta} + ml\ddot{x} = mgl\theta \end{cases}$$

定义状态变量 X :

$$X = \begin{bmatrix} x_1 \\ x_2 \\ x_3 \\ x_4 \end{bmatrix} = \begin{bmatrix} \theta \\ \dot{\theta} \\ x \\ \dot{x} \end{bmatrix}$$

那么可以得到状态方程:

$$\dot{X} = \begin{bmatrix} \dot{\theta} \\ \ddot{\theta} \\ \dot{x} \\ \ddot{x} \end{bmatrix} = \begin{bmatrix} x_2 \\ \frac{(M+m)g}{Ml}x_1 - \frac{1}{Ml}u \\ x_4 \\ -\frac{mg}{M}x_1 + \frac{1}{M}u \end{bmatrix}$$

可以写出以为倒立摆系统的状态空间方程表达式:

$$\begin{bmatrix} \dot{x}_1 \\ \dot{x}_2 \\ \dot{x}_3 \\ \dot{x}_4 \end{bmatrix} = \begin{bmatrix} 0 & 1 & 0 & 0 \\ \frac{(M+m)g}{Ml} & 0 & 0 & 0 \\ 0 & 0 & 0 & 1 \\ -\frac{mg}{M} & 0 & 0 & 0 \end{bmatrix} \cdot \begin{bmatrix} x_1 \\ x_2 \\ x_3 \\ x_4 \end{bmatrix} + \begin{bmatrix} 0 \\ -\frac{1}{Ml} \\ 0 \\ \frac{1}{M} \end{bmatrix} \cdot u$$

$$y = CX + D\hat{u} = \begin{bmatrix} 1 & 0 & 0 & 0 \\ 0 & 0 & 1 & 0 \end{bmatrix} \cdot \begin{bmatrix} x_1 \\ x_2 \\ x_3 \\ x_4 \end{bmatrix} + \begin{bmatrix} 0 \\ 0 \end{bmatrix} \cdot \hat{u} = \begin{bmatrix} \theta \\ x \end{bmatrix}$$

倒立摆球质量模型

严格来说: 假设 u 为外部作用力, M 为小车质量, m 为摆杆末端球质量, 摆杆长度为 l 且摆杆质量集中在杆的末端。设 x 为小车位置, θ 为摆杆与竖直方向的夹角。系统不考虑空气阻力的影响。

同上述过程, 我们考虑倒立摆摆杆重心的水平-垂直运动与小车水平运动和摆杆转动:

$$\begin{cases} m \frac{d^2}{dt^2}(x + l \sin(\theta)) = H \\ m \frac{d^2}{dt^2}(l \cos(\theta)) = -mg + V \\ M \frac{d^2}{dt^2}(x) = u - H \\ I \frac{d^2}{dt^2}(\theta) = Vl \sin(\theta) - Hl \cos(\theta) \end{cases}$$

整理一下:

$$\begin{cases} (M+m)\ddot{x} + ml\ddot{\theta} \cos \theta - ml\dot{\theta}^2 \sin \theta = u \\ ml\ddot{x} \cos \theta + (I + ml^2)\ddot{\theta} - mgl \sin \theta = 0 \end{cases}$$

那么我们同样假设在系统平衡点附近，摆杆的角度、角速度可以忽略不计，即 $\cos \theta = 1, \sin \theta = \theta; \dot{\theta} = 0, \sin \theta \dot{\theta} = 0$ ，则：

$$\begin{cases} (M+m)\ddot{x} + ml\ddot{\theta} = u \\ ml\ddot{x} + (I + ml^2)\ddot{\theta} = mgl\theta \end{cases}$$

定义状态变量 X ：

$$X = \begin{bmatrix} x_1 \\ x_2 \\ x_3 \\ x_4 \end{bmatrix} = \begin{bmatrix} \theta \\ \dot{\theta} \\ x \\ \dot{x} \end{bmatrix}$$

那么同理我们可以得到系统状态空间方程：

$$\begin{bmatrix} \dot{x}_1 \\ \dot{x}_2 \\ \dot{x}_3 \\ \dot{x}_4 \end{bmatrix} = \begin{bmatrix} 0 & 1 & 0 & 0 \\ \frac{mgl(M+m)}{I(M+m)+Mml^2} & 0 & 0 & 0 \\ 0 & 0 & 0 & 1 \\ -\frac{m^2gl^2}{I(M+m)+Mml^2} & 0 & 0 & 0 \end{bmatrix} \cdot \begin{bmatrix} x_1 \\ x_2 \\ x_3 \\ x_4 \end{bmatrix} + \begin{bmatrix} 0 \\ -\frac{ml}{I(M+m)+Mml^2} \\ 0 \\ \frac{I+ml^2}{I(M+m)+Mml^2} \end{bmatrix} \cdot u$$

$$y = CX + D\hat{u} = \begin{bmatrix} 1 & 0 & 0 & 0 \\ 0 & 0 & 1 & 0 \end{bmatrix} \cdot \begin{bmatrix} x_1 \\ x_2 \\ x_3 \\ x_4 \end{bmatrix} + \begin{bmatrix} 0 \\ 0 \end{bmatrix} \cdot \hat{u} = \begin{bmatrix} \theta \\ x \end{bmatrix}$$

更一般的形式

我们这里还要考虑近来阻尼系数 b ，那么我们现在的方程就变成了：

$$\begin{cases} (M+m)\ddot{x} + b\dot{x} + ml\ddot{\theta} = u \\ ml\ddot{x} + (I + ml^2)\ddot{\theta} = mgl\theta \end{cases}$$

那么在添加了阻尼系数之后，我们更一般的表达式应该是：

$$\begin{bmatrix} \dot{x}_1 \\ \dot{x}_2 \\ \dot{x}_3 \\ \dot{x}_4 \end{bmatrix} = \begin{bmatrix} 0 & 1 & 0 & 0 \\ \frac{mgl(M+m)}{p} & -\frac{(I+ml^2)b}{p} & 0 & 0 \\ 0 & 0 & 0 & 1 \\ -\frac{m^2gl^2}{p} & -\frac{mlb}{p} & 0 & 0 \end{bmatrix} \cdot \begin{bmatrix} x_1 \\ x_2 \\ x_3 \\ x_4 \end{bmatrix} + \begin{bmatrix} 0 \\ -\frac{ml}{p} \\ 0 \\ \frac{I+ml^2}{p} \end{bmatrix} \cdot u$$

$$y = CX + D\hat{u} = \begin{bmatrix} 1 & 0 & 0 & 0 \\ 0 & 0 & 1 & 0 \end{bmatrix} \cdot \begin{bmatrix} x_1 \\ x_2 \\ x_3 \\ x_4 \end{bmatrix} + \begin{bmatrix} 0 \\ 0 \end{bmatrix} \cdot \hat{u} = \begin{bmatrix} \theta \\ x \end{bmatrix}$$

其中, $p = I(M + m) + Mml^2$, 当然还有它还有另一种形式 $q = (M + m)(I + ml^2) - (ml)^2$, 在后面 pid 调节的时候可以使用。

控制环节

LQR 控制

已知系统状态空间模型:

$$\dot{X} = AX + Bu$$

其中 X 为状态向量, u 为控制输入, A 为状态矩阵, B 为输入矩阵。

LQR 控制考虑最佳控制向量的矩阵 K :

$$\hat{u} = u - KX$$

其中 K 为增益矩阵, X 为状态向量。

那么 LQR 控制的目标转换为确定下列最小化二次型函数:

$$J = \frac{1}{2} \int_0^T (X^T Q X + u^T R u) dt$$

此时不妨选择 $Q = I, R = I$, 使用 matlab 代码求解得到增益矩阵 K :

```
% 倒立摆系统参数
M = 1.42; % 小车质量
m = 0.12; % 摆球质量
l = 0.188; % 摆杆长度
I = 0.0014; % 摆球转动惯量
g = 9.8; % 重力加速度9.8m/s^2
q = (M+m)*(I+m*l^2)-(m*l)^2;
p = I*(M+m)+(M*m*l^2);
% 倒立摆系统状态空间矩阵定义
A = [0 1 0 0
      (M+m)*m*g*l/(I*(M+m)+(M*m*l^2)) 0 0 0
      0 0 0 1
      -m^2*g*l^2/(I*(M+m)+(M*m*l^2)) 0 0 0];
B = [0 -m*l/(I*(M+m)+(M*m*l^2)) 0 (I+m*l^2)/(I*(M+m)+(M*m*l^2))]';
Q=eye(4);
R=eye(1);
K=lqr(A,B,Q,R);
```

此时可以输出得到 $k = [-36.9690, -5.8463, -1.0000, -2.3376]$ 。

那么我们拥有了这个 k ，就可以搭建 LQR 控制器了，首先考虑如下理论模型，我们注意到，在 LQR 控制器中，反馈 K 到输入 u 中，然后在乘以 B ，与 A 反馈相加之后。

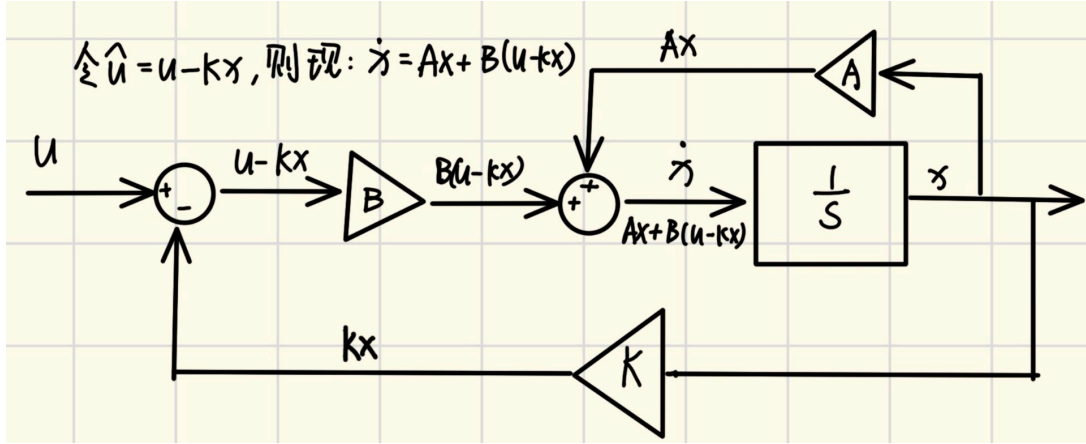


图 2: LQR 控制器

PID 控制

进行 laplace 变换, 同时假设 $\theta, \dot{\theta}$ 很小, 根据上述推导不难有如下式子:

$$\begin{cases} (M + m)\ddot{x} + m\ddot{\theta} \cos \theta - m\dot{\theta}^2 \sin \theta + b\dot{x} = u \\ m\ddot{x} \cos \theta + (I + ml^2)\ddot{\theta} - mgl \sin \theta = 0 \end{cases}$$

有初始状态为 0, 而且 $\sin \theta = \theta, \cos \theta = 1, \dot{\theta} = 0$:

$$\begin{cases} (M + m)s^2 X(s) + ml^2 s^2 \Phi(s) + bsX(s) = U(s) \\ mls^2 X(s) = [-(I + ml^2)s^2 + mgl]\Phi(s) \end{cases}$$

那么可以给出这种传递函数, 其中 $q = (M + m)(I + ml^2) - (ml)^2$:

$$P_{\text{pend}}(s) = \frac{\Phi(s)}{U(s)} = \frac{mls^2}{-qs^4 - b(I + ml^2)s^3 + (M + m)mgl s^2 + bmgl s}$$

$$P_{\text{cart}}(s) = \frac{X(s)}{U(s)} = \frac{-(I + ml^2)s^2 + mgl}{-qs^4 - b(I + ml^2)s^3 + (M + m)mgl s^2 + bmgl s}$$

这样关于角度和关于小车位移的传递函数就有了, 可以进行 pid 控制仿真了。

```

%Modeling
%%Transfer Function
mCart = 1.42;
mPend = 0.12;
b = 0.1;    % 阻尼系数
I = 0.014;  % 转动惯量
g = 9.8;
L = 0.188;
q = (mCart+mPend)*(I+mPend*L^2)-(mPend*L)^2;
s = tf('s');
P_cart = (((I+mPend*L^2)/q)*s^2 - (mPend*g*L/q))/(s^4 + (b*(I + mPend*L^2))*s^3/q -
    ((mCart + mPend)*mPend*g*L)*s^2/q - b*mPend*g*L*s/q);
P_pend = (mPend*L*s/q)/(s^3 + (b*(I + mPend*L^2))*s^2/q - ((mCart + mPend)*mPend*g*L)*s/q
    - b*mPend*g*L/q);
sys_tf = [P_cart ; P_pend]
inputs = {'u'};
outputs = {'x'; 'phi'};
set(sys_tf,'InputName',inputs)
set(sys_tf,'OutputName',outputs)
% PID环节
Kp = 100;
Ki = 1;
Kd = 30;
C = pid(Kp,Ki,Kd);
T1 = feedback(P_pend,C);
T2 = feedback(1,P_pend*C)*P_cart;

```

我们现在有输出如下:

$$P_{\text{cart}} = \frac{0.01824s^2 - 0.2211}{0.02758s^4 + 0.001824s^3 - 0.3405s^2 - 0.02211s} \quad \text{从输入 } U(s) \text{ 到输出 } 1X(s)$$

$$P_{\text{pend}} = \frac{-0.02256s^2}{0.02758s^4 + 0.001824s^3 - 0.3405s^2 - 0.02211s} \quad \text{从输入 } U(s) \text{ 到输出 } 2\Phi(S)$$

如果我们不计算阻尼系数 $b = 0.1$ 的话, 输出如下:

$$P_{\text{cart}} = \frac{0.01824s^2 - 0.2211}{0.02758s^4 - 0.3405s^2} \quad \text{从输入 } U(s) \text{ 到输出 } 1X(s)$$

$$P_{\text{pend}} = \frac{-0.02256s^2}{0.02758s^4 - 0.3405s^2} \quad \text{从输入 } U(s) \text{ 到输出 } 2\Phi(S)$$

随后我们转化:

$$T1 = \frac{1.716 \times 10^{-5} s^2}{2.098 \times 10^{-5} s^4 + 0.0005163 s^3 + 0.001457 s^2 + 3.433 \times 10^{-7} s}$$

$$T2 = \frac{2.912 \times 10^{-10} s^6 + 1.926 \times 10^{-11} s^5 - 7.125 \times 10^{-9} s^4 - 4.669 \times 10^{-10} s^3 + 4.357 \times 10^{-8} s^2 + 2.829 \times 10^{-9} s}{4.404 \times 10^{-10} s^8 + 1.086 \times 10^{-8} s^7 + 2.586 \times 10^{-8} s^6 - 1.321 \times 10^{-7} s^5 - 3.862 \times 10^{-7} s^4 - 2.46 \times 10^{-8} s^3 - 5.774 \times 10^{-12} s^2}$$

这个时候我们可以直接运算 T1,T2 的脉冲响应即可。

当然，我们还有另外一种传递函数：

$$\begin{cases} \ddot{x} = \frac{(I+ml^2)u+ml(I+ml^2)\dot{\theta}^2 \sin \theta - m^2 l^2 g \sin \theta \cos \theta}{(I+ml^2)(M+m)-m^2 l^2 \cos^2 \theta} \\ \ddot{\theta} = \frac{mlu \cos \theta + m^2 l^2 \dot{\theta}^2 \sin \theta \cos \theta - (M+m)mgl \sin \theta}{m^2 l^2 \cos^2 \theta - (I+ml^2)(M+m)} \end{cases}$$

这个时候带入 $\theta \rightarrow 0$ 求解，有：

$$\begin{cases} \ddot{x} = \frac{(I+ml^2)u - m^2 l^2 g \theta}{(I+ml^2)(M+m) - m^2 l^2} \\ \ddot{\theta} = \frac{-mlu + (M+m)mgl \theta}{(I+ml^2)(M+m) - m^2 l^2} \end{cases}$$

这个进行求解，可以有 laplace 变换如下：

$$\begin{cases} qs^2 X(s) = (I + ml^2)U(s) + m^2 l^2 g \Phi(s) \\ qs^2 \Phi(s) = -mlU(s) + (M + m)mgl \Phi(s) \end{cases}$$

也就是解下列方程：

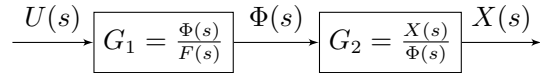
$$\begin{cases} X(s) = \frac{\frac{-m^3 l^3 g}{-qs^2 + (M+m)mgl} + (I+ml^2)}{qs^2} U(s) = \frac{(I+ml^2)s^2 - mgl}{qs^4 - (M+m)mgl s^2} U(s) \\ \Phi(s) = \frac{-ml}{qs^2 - (M+m)mgl} U(s) \end{cases}$$

可以得出传递函数为：

$$P_{\text{pend}}(s) = \frac{\Phi(s)}{U(s)} = \frac{ml}{-qs^2 + (M+m)mgl}$$

$$P_{\text{cart}}(s) = \frac{X(s)}{U(s)} = \frac{(I + ml^2)s^2 - mgl}{qs^4 - (M+m)mgl s^2}$$

可以与上面进行检验，我们这里也就是 $b = 0$ 的情况，我们根据这个可以画出来系统框图如下：



那么我们有：

$$\begin{cases} G_1(s) = \frac{\Phi(s)}{U(s)} = \frac{-ml}{qs^2 - (M+m)mgl} \\ G_2(s) = \frac{X(s)}{\Phi(s)} = \frac{(I+ml^2)s^2 - mgl}{-mls^2} \end{cases}$$

% 定义系统参数

M = 1.42; % 小车质量
m = 0.12; % 摆球质量
l = 0.188; % 摆杆长度
I = 0.0014; % 摆球转动惯量
g = 9.8; % 重力加速度


```

q = (M + m) * (I + m * l^2) - (m * l)^2;
p = I * (M + m) + (M * m * l^2);
s = tf('s');

% 定义传递函数 G1 和 G2
G1 = (-m * l) / (q * s^2 - (M + m) * m * g * l);
G2 = ((I + m * l^2) * s^2 - m * g * l) / (-m * l * s^2);

```

代入倒立摆参数，我们可以得到：

$$\begin{cases} G_1(s) = \frac{\Phi(s)}{U(s)} = \frac{-0.02256}{0.008179s^2 - 0.3405} \\ G_2(s) = \frac{X(s)}{\Phi(s)} = \frac{-0.005641s^2 + 0.2211}{0.02256s^2} \end{cases}$$

而同时我们也有这样的 PID 控制器框图如下：

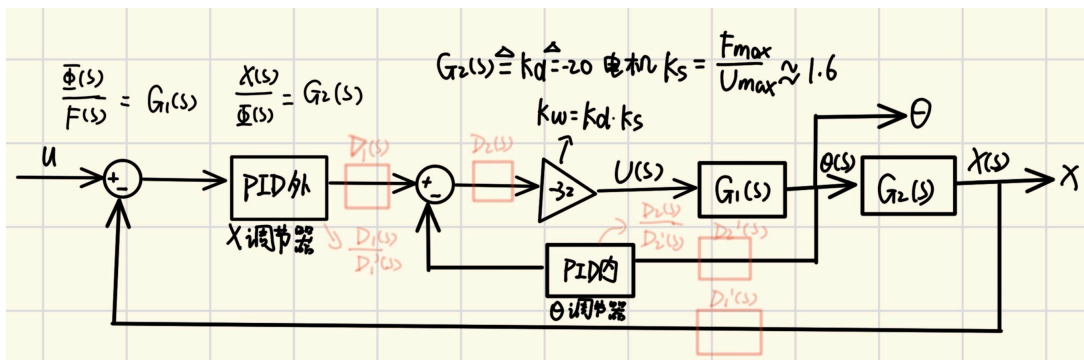


图 3: 双 PID 控制器

Matlab 代码与 Simulink 仿真测试

LQR 控制

根据上述操作，我们已经大概知道了怎么计算，现在我们进行 matlab 仿真测试。

```

% 倒立摆系统参数
M = 1.42; % 小车质量
m = 0.12; % 摆球质量
l = 0.188; % 摆杆长度
I = 0.0014; % 摆球转动惯量
g = 9.8; % 重力加速度 9.8m/s^2

```

```

q = (M+m)*(I+m*l^2)-(m*l)^2;
p = I*(M+m)+(M*m*l^2);
% 倒立摆系统状态空间矩阵定义
A = [0          1 0 0
      (M+m)*m*g*l/(I*(M+m)+(M*m*l^2)) 0 0 0
      0          0 0 1
      -m^2*g*l^2/(I*(M+m)+(M*m*l^2)) 0 0 0];
B = [0 -m*l/(I*(M+m)+(M*m*l^2)) 0 (I+m*l^2)/(I*(M+m)+(M*m*l^2))]';
C = [1 0 0 0
      0 0 1 0];
D = 0;
% 倒立摆系统状态空间模型
G = ss(A, B, C, D)

```

我们有输出如下，可以看出，尽管我们定义了阻尼系数 b ，但是这道题这样给出来的状态矩阵就是没有计算阻尼系数的形式，但是与题目所给形式完全一致：

```

G =
A =
      x1      x2      x3      x4
x1      0      1      0      0
x2  41.63      0      0      0
x3      0      0      0      1
x4 -0.6099      0      0      0
B =
      u1
x1      0
x2 -2.758
x3      0
x4  0.6898
C =
      x1 x2 x3 x4
y1  1  0  0  0
y2  0  0  1  0
D =
      u1
y1  0
y2  0

```

连续时间状态空间模型。

那么根据之前讨论过的 (主要参考控制环节-LQR 控制), 这里主要使用了图 2 中的理论系统形式, 我们可以搭出 LQR 控制器的 simulink 文件:

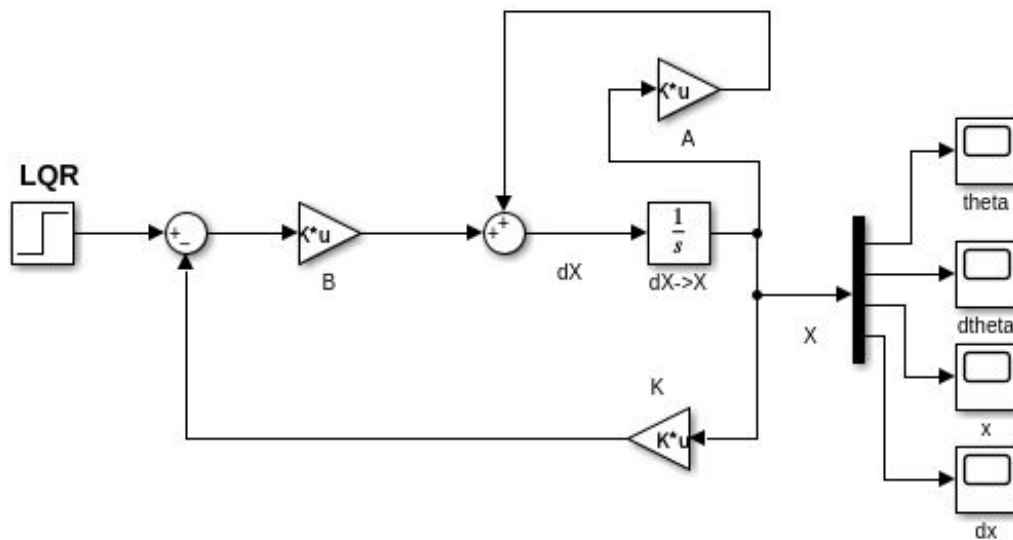


图 4: simulink 仿真文件

完整代码

```
% 定义状态矩阵 A 和控制矩阵 B 观测矩阵 C 和输入矩阵 D
```

```
A = [0, 1, 0, 0;
      41.63, 0, 0, 0;
      0, 0, 0, 1;
      -0.6099, 0, 0, 0];
```

```
B = [0;  
-2.7584;  
0;  
0.6898];
```

$$C = \begin{bmatrix} 1 & 0 & 0 & 0 \\ 0 & 0 & 1 & 0 \end{bmatrix};$$
$$D = \begin{bmatrix} 0; \\ 0; \end{bmatrix}$$

```
G = ss(A, B, C, D);
```

% 定义权重矩阵 Q 和 R

```

Q = eye(4); % 状态权重矩阵, 这里使用单位矩阵
R = 1;      % 控制权重矩阵, 这里使用 1
[K, S, E] = lqr(A, B, Q, R);
B
A
K
A_cl = A - B * K;
B_cl = B;
C_cl = C;
D_cl = D;
Gclose = ss(A_cl, B_cl, C_cl, D_cl);

% 计算并绘制阶跃响应
t = 0:0.01:10;
[y, t, x] = step(Gclose, t);

figure;
% 摆角与角速度响应
subplot(2, 1, 1);
plot(t, x(:, 1), 'b-', 'LineWidth', 2);
hold on;
plot(t, x(:, 2), 'r--', 'LineWidth', 2);
grid on;
xlabel('time(s)', 'FontSize', 20);
ylabel('{\theta and \dot \theta}', 'FontSize', 20);
title('摆角与角速度响应', 'FontSize', 25);
legend('摆角', '角速度');
% 位移与速度响应
subplot(2, 1, 2);
plot(t, x(:, 3), 'g-', 'LineWidth', 2);
hold on;
plot(t, x(:, 4), 'm--', 'LineWidth', 2);
grid on;
xlabel('time(s)', 'FontSize', 20);
ylabel('{x and \dot x}', 'FontSize', 20);
title('位移与速度响应', 'FontSize', 25);
legend('位移', '速度');

set(gcf, 'Position', [100, 100, 800, 600]);

```

PID 控制

那么根据之前讨论过的 (主要参考), 我们可以搭出 PID 控制器的 simulink 文件:

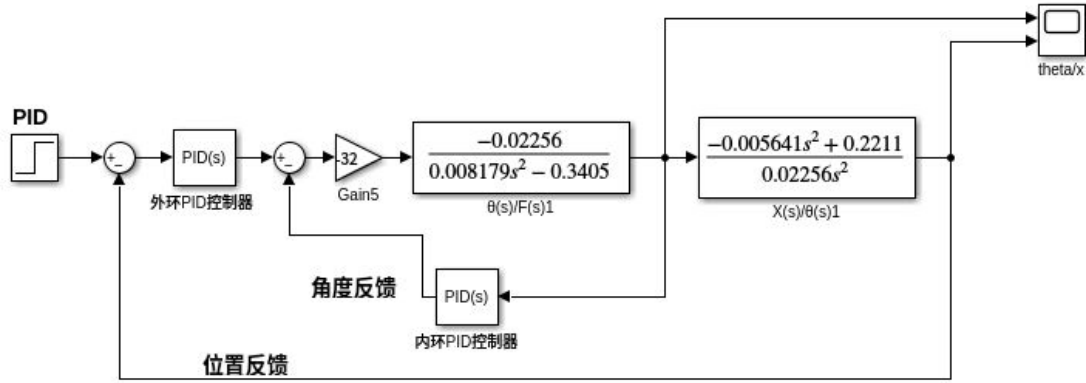


图 5: simulink 仿真文件

完整代码

```
%Modeling
%%Transfer Function
mCart = 1.42;
mPend = 0.12;
b = 0.1; % 阻尼系数
I = 0.014; % 转动惯量
g = 9.8;
L = 0.188;
q = (mCart+mPend)*(I+mPend*L^2)-(mPend*L)^2;
s = tf('s');
P_cart = (((I+mPend*L^2)/q)*s^2 - (mPend*g*L/q))/(s^4 + (b*(I + mPend*L^2))*s^3/q -
    ((mCart + mPend)*mPend*g*L)*s^2/q - b*mPend*g*L*s/q);
P_pend = (mPend*L*s/q)/(s^3 + (b*(I + mPend*L^2))*s^2/q - ((mCart + mPend)*mPend*g*L)*s/q
    - b*mPend*g*L/q);
sys_tf = [P_cart ; P_pend]
inputs = {'u'};
outputs = {'x'; 'phi'};
set(sys_tf, 'InputName', inputs)
```

```

set(sys_tf, 'OutputName', outputs)
t = 0:0.05:5;
u = ones(size(t));
[y,t] = lsim(sys_tf,u,t);
figure ;
plot(t,y) ;
title('Open-Loop Step Response') ;
% axis([0 3 0 50]) ;
legend('x', 'phi');
% PID环节
Kp = 100;
Ki = 1;
Kd = 30;
C = pid(Kp,Ki,Kd);
T1 = feedback(P_pend,C);
t=0:0.01:4;
figure;
subplot(2,1,1);
impulse(T1,t)
title('Close-loop impluse Response')
legend('phi');
% figure;
T2 = feedback(1,P_pend*C)*P_cart;
t = 0:0.01:5;
subplot(2,1,2);
impulse(T2, t);
title('Close-loop impluse Response')
legend('x');

```
